・案例分析・

脾脏 EB 病毒阳性炎性滤泡树突状细胞肉瘤 1 例并文献复习*

陈施杰¹,张 英²,蒋华东¹,吕传国¹△

(启东市人民医院/启东肝癌防治研究所/南通大学附属启东医院:1.影像科;2.介入科,江苏 南通 226200)

[摘 要] EB病毒阳性炎性滤泡树突状细胞肉瘤(EBV⁺IFDCS)是一种起源于间充质的低度恶性肿瘤, 脾脏原发的 EBV⁺IFDCS 发病率极低,国内外多以个案形式报道,缺乏具有大宗病例的影像学特征的文献报 道。2022年1月该院收治1例 EBV⁺IFDCS患者,回顾性分析其临床资料,并结合文献整理其临床病理特征、 影像学表现及其鉴别诊断,以帮助临床及影像科医生提高对该病的认识。

[关键词] 炎性滤泡树突状细胞肉瘤; EB 病毒; 脾脏肿瘤; 病例报告

DOI: 10. 3969/j. issn. 1009-5519. 2025. 05. 049

中图法分类号:R733.2

文章编号:1009-5519(2025)05-1283-03

文献标识码:B

滤泡树突状细胞肉瘤(FDCS)于 1986 年首次被文献报道^[1],大多数 FDCS 局限于淋巴结,约 1/3 的病例发生在结外部位,包括扁桃体、胃肠道、纵隔、腹膜和肺^[2]。EB病毒阳性炎性 FDCS(EBV⁺IFDCS)是独立于FDCS 的单独病种,主要见于肝脏、脾脏等,临床极为罕见,常为健康体检时偶然发现,术前通过影像学诊断较困难。本院收治 1 例经病理检查证实的 EBV⁺IFDCS 患者,现结合文献探讨其临床及影像学特点,以帮助临床及影像科医生提高对该病的认识。

1 临床资料

患者,男,59岁。平素体健,每年定期健康体检,2022年1月健康体检时B超检查发现脾脏占位,超声影像学表现为混杂低回声,边界清。见图1。行上腹部CT增强扫描检查显示脾脏内1枚类圆形稍低密度肿块影,密度不均,平扫边界模糊,增强后勾勒出病灶边缘,边界清晰,大小5.6cm×5.0cm×4.8cm;病灶增强后呈明显不均匀强化,以周边强化为主;门静脉

期、延迟期呈持续渐进性强化,病灶周边及实质部分强化更明显,并呈向心性填充,病灶强化范围更广。平扫、增强扫描各期 CT 值(选取强化明显区域)分别为平扫 42 Hu,动脉期 68 Hu,门静脉期 90 Hu,延迟期 102 Hu。见图 2。



图 1 超声检查

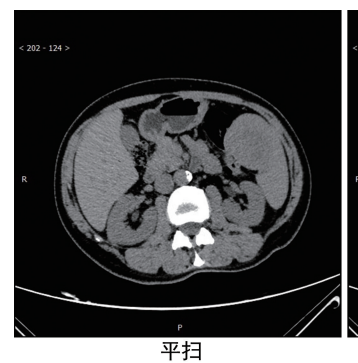








图 2 上腹部 CT 增强扫描检查

于全身麻醉下行腹腔镜全脾切除术。切除脾脏 标本大小 14.5 cm×9.0 cm×4.0 cm,肿瘤位于切开

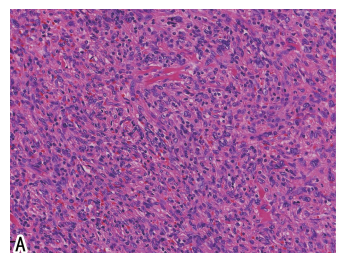
^{*} 基金项目:江苏省南通市卫生健康委员会科研课题(QA2020056)。

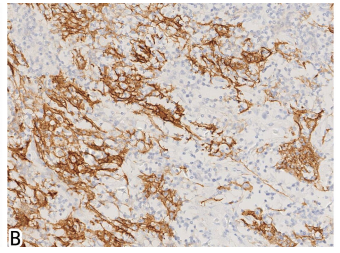
[△] 通信作者,E-mail:13584661405@139.com。

网络首发 https://link.cnki.net/urlid/50.1129.R. 20250331.1307.041(2025-03-31)

脾脏的中上极,肉眼观切面处肿块呈灰白色,质韧,境界尚清,大小5.5 cm×4.5 cm×4.0 cm。见图 3A。镜下见肿瘤细胞散布呈席纹状,浆细胞、淋巴细胞浸润明显,肿瘤细胞呈梭形,细胞质丰富,核分裂象少见。分子病理检查显示,EB病毒编码的小 RNA(EBER,肿瘤细胞+)。免疫组织化学(免疫组化)检查显示,分化群抗原簇(CD2,+)、CD20(+)、Ki-67

(25%+)、CD138(+)、CD38(+)、免疫球蛋白 G4(散+)、CD15(散+)、CD30(散+)、CD68(+)、CD34(+)、CD1α(-)、平滑肌肌动蛋白(SMA,+)、S100(散在个别+)、间变性淋巴瘤激酶(-)、κ(+)、λ(+)、CD21(肿瘤细胞+)、CD23(肿瘤细胞+)、结蛋白(-)。见图 3B~D。特殊染色显示刚果红(-)。病理诊断:(脾脏)EBV+IFDCS。









注:A 为苏木精-伊红染色(200×);B 为 CD21(+);C 为 Ki-67(25%+);D 为 EBER(+)。

图 3 病理及免疫组化检查

2 讨 论

- 2.1 概述 2001年 CHEUK 等[3]报道了 11 例发生于腹腔且与 EBV 相关的独特病例,并命名为炎性假瘤样 FDCS(IPT-like FDCS),以区别于经典型 FDCS。不同于经典型 FDCS,IPT-like FDCS 多见于中老年女性,几乎只发生于腹腔,以肝脏、脾脏多见,生物学行为表现得更惰性。IPT-like FDCS 可能与 EBV 有关,几乎所有病例的原位杂交 EBER(+)[4-5]。最新的第 5 版世界卫生组织淋巴造血肿瘤分类中 IPT-like FDCS 归类于间质源性树突状细胞肿瘤,并更名为EBV⁺ IFDCS 归类于间质源性树突状细胞肿瘤,并更名为EBV⁺ IFDCS^[6]。ZHANG 等[7]发现,EBV⁺ IFDCS在东亚地区更为常见,占全球病例的80%以上,可能与饮食、生活习惯引起的EBV 相关疾病患病率增加有关。脾脏 EBV⁺ IFDCS 患者常无明显临床表现,少数有腹痛、腹胀、体重减轻等。本例患者为59岁男性,病程中各项体征无特殊。
- 2.2 病理特点 EBV+ IFDCS 细胞形态学、组织学 特征方面与经典型 FDCS 类似:区别于经典型 FDCS 小淋巴细胞中伴有梭形细胞,EBV+IFDCS 表现为稀 疏的梭形细胞,伴细胞间质内明显的淋巴细胞、嗜酸 粒细胞、浆细胞等炎症细胞浸润,肿瘤细胞呈束状、编 织状排列。由于肿瘤细胞常被炎症细胞浸润所掩盖, EBV+ IFDCS 常被误诊为炎症反应、炎性假瘤或其他 各类肿瘤^[8]。EBV⁺ IFDCS 的确诊需结合免疫组化 及原位杂交结果。EBV+IFDCS 可表达多种 FDC 标 记,主要为 CD21、CD35 和 CD23[5],还可表达一些其 他非FDC标志物,如波形蛋白、SMA、S100、EMA等。 经典型 FDCS 很少合并 EBV 感染,而几乎所有 EBV+ IFDCS 病例的 EBER 原位杂交均呈阳性。 FDC 标志物、EBER 原位杂交阳性是其诊断的关键。 最近研究发现, SSTR2a 在 FDCS 的阳性率明显高于 常规亚型中的 CD21 和 CD35,而在 EBV+ IFDCS 中

SSTR2a 均为阴性; SSTR2 有望成为区分经典型FDCS和EBV⁺IFDCS的高度灵敏的标志物^[9]。本例患者肿瘤细胞CD21斑片状强阳性(图3B)、CD23呈弥漫表达、少量表达SMA、S100,散在表达EBER(图3D),与先前研究结果相符。

2.3 MSCT 及其他影像学表现 EBV+IFDCS 在肝 脏、脾脏的影像学特征方面存在一定差异[10]。现主要 讨论脾脏病变的影像学特点。脾脏肿瘤 CT 影像学有 以下表现[10-12]:(1)病灶平扫常为类圆形等/稍低密度 肿块,边界清晰,大部分密度不均,可伴囊变、坏死等, 钙化、出血少见;(2)增强后肿瘤呈持续强化,动脉期 以肿瘤边缘及实质部分轻中度强化,门脉期及延迟期 向病灶中央持续性、渐进性强化,强化程度多低于或 接近脾脏本身,中央坏死区无强化。其他特征为部分 病灶可见中央瘢痕[12],瘢痕延迟强化;部分病灶增强 后在门脉或延迟期可见包膜样边缘。虽然本例患者 在组织学上可观察到肿瘤边缘的纤维包膜,但CT影 像学上未见包膜样边缘显示,病灶内未见瘢痕;平扫 及增强后强化方式与文献报道一致。由于肿瘤成分 的差异磁共振成像(MRI)信号多变,XU 等[10]报道的 9 例脾脏肿瘤患者中大部分(7/9)T1WI 呈稍高信号, T2WI 呈稍低信号,扩散加权成像(DWI)呈稍高或高 信号,肿瘤实质部分强化方式与 CT 相仿。T2WI 病 灶边缘可见低信号环,增强后呈延迟强化;T2WI上低 信号环的病理本质是纤维组织为主的包膜,与 CT 增 强后的包膜样边缘相对应[10,13-14];包膜样结构提示肿 瘤呈膨胀性生长,恶性程度相对较低,具有一定特征 性。B超检查是检出病灶最简便的方式,多表现为低 或混合回声,边界清晰,彩色多普勒血流显像提示短 条状血流信号或未见明显血流信号[15]。CT/MRI多 期动态增强扫描可为该病的术前诊断提供更多的影 像学信息,且 MRI 对显示瘢痕及包膜更具有优势,由 于影像学文献报道较少见,瘢痕及包膜结构的影像学诊断价值尚有待于进一步研究。

- 2.4 鉴别诊断 EBV+IFDCS 在影像学上需与以下 病变鉴别:(1)炎性肌纤维母细胞瘤,其为相对少见的 交界性肿瘤,具有恶性潜能,CT 检查表现为等/稍低 密度肿块,增强后轻中度持续强化[16],T1WI、T2WI 为低信号;其影像学及病理检查特征与 EBV+ IFDCS 均存在一定交叉,鉴别诊断困难。(2)硬化性血管瘤 样结节性转归,其在 CT 检查上多呈单发类圆形稍低 密度灶,典型强化方式为向心性渐进性强化,"轮辐 征"具有特异性(即增强后病灶周边及内部的血管瘤 样结节明显强化并呈放射状排列,与强化程度较低的 中央星芒状纤维间质构成"轮辐征"[17]);由于病灶内 纤维及出血成分,硬化性血管瘤样结节性转归在 T2WI及DWI呈低及等信号。(3)淋巴瘤,其为脾脏 最常见的恶性肿瘤,以弥漫、多发病灶常见,当表现为 单一肿块时肿块常大于 10 cm^[18],坏死多见; T1WI 呈等或低信号,T2WI呈稍高或等信号,DWI呈高信 号、弥散受限;增强后轻度强化;常伴腹膜后、脾门处 淋巴结肿大。(4)血管肉瘤,其为脾脏罕见的原发恶性 肿瘤,单发或多发,常伴脾大,CT平扫呈高低混杂密度 (低密度主要为坏死区,伴出血时为高密度),增强后呈 "快进快出"的强化方式、强化明显;由于侵袭性极高,发 现时常伴转移,好发部位为肝脏、骨骼和淋巴结。
- 2.5 预后及小结 EBV⁺ IFDCS 是一种低度恶性肿瘤,手术是有效的治疗方法,复发或转移率约为 10%,放化疗或靶向治疗并不能明显改善患者总体生存率或无病生存率^[19]。本例患者术后未行辅助放化疗,已常规随访 30 个月未发现肿瘤复发及转移。当影像学检出上述特征病灶,尤其是表现为边界清晰、增强后边缘、实质部分渐进性强化,以及边缘"包膜"延迟强化的特点时应考虑将 EBV⁺ IFDCS 作为鉴别诊断;确诊仍需结合免疫组化、EBER 原位杂交检查。本例患者从年度健康体检 B 超检查无异常至发现肿瘤时间不足 1 年,病程较短;虽然肿瘤呈惰性的生物学行为,但病程中无特异临床体征,常规健康体检的腹部 B 超筛查至关重要。

参考文献

- [1] MONDA L, WARNKE R, ROSAI J. A primary lymph node malignancy with features suggestive of dendritic reticulum cell differentiation. A report of 4 cases[J]. Am J Pathol, 1986, 122(3):562-572.
- [2] CHEN T, GOPAL P. Follicular dendritic cell sarcoma [J]. Arch Pathol Lab Med, 2017, 141(4):596-599.
- [3] CHEUK W, CHAN J K, SHEK T W, et al. Inflammatory pseudotumor-like follicular dendritic cell tumor: a distinctive low-grade malignant intra-abdominal neoplasm with consistent Epstein-Barr virus association[J]. Am J Surg Pathol, 2001, 25(6):721-731.

- [4] LI Y, YANG X, TAO L, et al. Challenges in the diagnosis of Epstein-Barr virus-positive inflammatory follicular dendritic cell sarcoma; extremely wide morphologic spectrum and immunophenotype[J]. Am J Surg Pathol, 2023, 47(4):476-489.
- [5] 汪亮亮,周斌,余燚,等. EBV 阳性炎性滤泡树突细胞肉瘤 8 例临床病理分析[J]. 临床与实验病理学杂志,2024,40 (1):89-91.
- [6] 尹为华,李小秋. 第 5 版 WHO 造血与淋巴组织肿瘤分类组织细胞/树突细胞肿瘤及淋巴组织间质源性肿瘤解读[J]. 中华病理学杂志,2024,53(1):12-15.
- [7] ZHANG J, HE L, MA X, et al. Imaging findings of inflammatory pseudotumor-like follicular dendritic cell sarcoma of the spleen: a case report and literature review [J]. Oncol Lett, 2022, 24(5):399.
- [8] FACCHETTI F, SIMBENI M, LORENZI L. Follicular dendritic cell sarcoma [J]. Pathologica, 2021, 113(5): 316-329.
- [9] TAO L L, HUANG Y H, CHEN Y L, et al. SSTR2a is a useful diagnostic marker for follicular dendritic cells and their related tumors[J]. Am J Surg Pathol, 2019, 43(3): 374-381.
- [10] XU L, GE R, GAO S. Imaging features and radiologic-pathologic correlations of inflammatory pseudotumor-like follicular dendritic cell sarcoma[J]. BMC Medical Imaging, 2021, 21:52.
- [11] 石慧娴,韩雷. 炎性假瘤样滤泡树突细胞肉瘤的 CT 表现 [J]. 中国中西医结合影像学杂志,2023,21(6):698-700.
- [12] 相世峰,林达,杨素君,等. 脾脏炎性假瘤样滤泡树突细胞瘤的 CT、MRI 表现[J]. 医学影像学杂志,2021,31(8): 1442-1444.
- [13] LI X, SHI Z, YOU R, et al. Inflammatory pseudotumorlike follicular dendritic cell sarcoma of the spleen; computed tomography imaging characteristics in 5 patients[J]. J Comput Assist Tomogr, 2018, 42(3): 399-404.
- [14] 葛力,刘玉品,杨逸铭,等. 脾脏炎性假瘤样滤泡树突状细胞肉瘤 MRI 表现 1 例[J]. 现代医用影像学,2022,31 (5):988-990.
- [15] 陈桂武,谢玉环,刘文芹,等.炎性假瘤样滤泡树突状细胞 肉瘤临床及超声表现[J].中国医学影像技术,2022,38 (7):1103-1105.
- [16] 谌丹丹,魏新华,杨蕊梦,等. 腹盆腔脏器炎性肌纤维母细胞瘤的 CT 表现[J]. 中国 CT 和 MRI 杂志,2020,18(9): 162-165.
- [17] 张佳琪,王慧,李海宁,等. 脾脏硬化性血管瘤样结节性转 化的临床特征及影像表现[J]. 现代肿瘤医学,2024,32 (14):2615-2619.
- [18] 雷露,吕雪飞,杨玲,等. 脾脏占位性病变的影像学表现 [J]. 医学影像学杂志,2023,33(5):790-793.
- [19] DING F, WANG C, XU C, et al. Case report: hepatic inflammatory pseudotumor-like follicular dendritic cell sarcoma: a rare case and minireview of the literature [J]. Front Med(Lausanne), 2022, 9; 1002324.

(收稿日期:2024-07-26 修回日期:2024-12-20)